

厚生労働科学研究費補助金
(医療技術実用化総合研究事業：臨床研究・予防・治療技術開発研究事業)
分担研究報告書

「 臨床治験の準備に関する研究 」

研究分担者 村田美穂 国立精神・神経センター病院第二病棟部長

研究要旨 Duchenne型筋ジストロフィー（DMD）に対する、モルフォリノを用いたエクソン51スキップ治療を臨床応用するための基盤整備として、対象患者の把握、評価の準備を行った。現時点の15名のエクソン51スキップ治療対象者を把握した。評価指標として、国際共同治験グループのCINRGに参加し、CINRGの評価機器である、CQMSの導入を進めた。わが国独自の評価指標として動作解析を選定し、評価方法の確立を進めた。

A. 研究目的

Duchenne型筋ジストロフィー（DMD）に対する、モルフォリノを用いたエクソン51スキップ治療を臨床応用するための臨床的な基盤を整備する。

B. 研究方法

1) 対象患者のリクルートと患者数の把握
我々はDuchenne型筋ジストロフィーの遺伝子治療を進めるために、昨年度より、国立精神・神経センター病院での患者レジストリーの構築を始めた。さらに2009年7月より全国規模のジストロフィノバチーデータベースであるRegistry of Muscular Dystrophy (REMUDY, <http://www.remudy.jp>) が稼動をはじめたので、REMUDY計画に参加し、広く国内全体の患者で、今回のエクソン51スキッピングの対象患者の検索を行った。

2) 臨床評価方法の確立

国際共同治験にも対応できることを念頭におき、米国小児医療センターを中心とした国際共同神経筋疾患臨床研究グループである、The Cooperative International Neuromuscular Research Group (CINRG, <http://www.cinrgresearch.org/>) へ正式に加入し、国際基準の評価が可能となるようCQMS機器導入の準備を進めた。

また当院独自の評価項目の選定を行った。

(倫理面への配慮)

CINRG 参加と CQMS 機器の輸入に関して国立精神・神経センター倫理委員会への申請を行い承認を得た。患者データベースについては昨年度までに倫理委員会の承認を得ている。

C. 研究結果

1) 対象患者のリクルートと患者数の把握
当院データベース内で、エクソン51スキップ対象患者（エクソン50ないし52の単独欠失、エクソン48-50、エクソン49-50、エクソン45-50欠失例が16名（15歳未満14名）であった。REMUDYは引き続き参加を広く募っており、遺伝子検索が未実施の患者も多く、今後も対象患者の検索を進めいく。

2) 臨床評価方法の確立

国際共同治験にも対応可能な評価方法として、CINRG共通評価機器であるCQMS機器（定量的筋力評価機器、呼吸機能評価機器、階段等）の導入を進めた。現在も輸入手続きを継続しており来年度には機器の輸入が完了して、システムのセットアップが完了出来る見込みとなった。

わが国独自の取り組みとして、継続的かつ客観的な指標により評価可能であること、

ADL に直結することから、歩行を主とする動作解析を加えることとし、動作解析システム（三次元動作分析装置・UM-CAT II、フォースプレート・UM-FPG 及び分析ソフト・キネアナライザー）を導入した。現在、本機器により、患者の歩行・立ち上がり動作評価について、検討中である。

なし

2. 実用新案登録
なし

D. 考察

エクソン 51 スキップによる対象患者は欠失をもつ DMD の約 19%ともっとも多い。今後、治験を進めるに当たっては、安全かつ、最高の効果を得るために、年齢、筋症状の重症度のほか、心・肺・知的機能等を考慮して、患者選定を進めていく必要がある。来年度はこれらについての評価も進める予定である。

評価方法については、CINRG のシステムの導入についてはめどがたったため、今後、実際に運用して、基礎データの蓄積が必要である。

また我が国独自の評価項目として導入した歩行・立ち上がり動作評価については短時間で最も効率的に評価しうる指標の選定が必要である。

E. 結論

対象患者の把握と評価指標の選定・機器の準備を行った。今後もこれらを進め、基礎研究の確立と同時に治験に進めるよう、準備を進める。

F. 健康危険情報

なし

G. 研究発表

1. 論文発表

なし

2. 学会発表

なし。

H. 知的財産権の出願・登録状況（予定を含む）

1. 特許取得

研究成果の刊行に関する一覧表

書籍

著者氏名	論文タイトル名	書籍全体の 編集者名	書籍名	出版社名	出版地	出版年	ページ
青木 吉嗣, <u>武田 伸一</u>	筋ジストロフィー, 多発筋炎	阿部 康二	研修医のため の神経内科診 療	新興医学 出版社	東京	2010	248-252
鈴木 友子, <u>武田 伸一</u>	骨格筋	松島 綱治, 西脇 徹	炎症・再生医学 事典	朝倉書店	東京	2009	453-456
大澤真木子、 石垣景子、村 上てるみ、佐 藤孝俊、宍倉 啓子、鈴木暘 子、平山義人 、斎藤加代子	筋ジストロフィー の遺伝子治療導入 に向けての運動機 能評価に関する検 討～6分間歩行試 験を中心～。	国立精神・神 経センター	平成20年度厚 生労働省精神 ・神経疾患研究 委託費による 研究報告集（2 年度班・初年度 班）		東京	2009	504
<u>中林哲夫</u> , 山田光彦	Star*Dの意味する もの	印刷中					
<u>中林哲夫</u>	向精神薬の治験の 進め方 -抗うつ薬 の臨床試験を中心 に-	印刷中					

雑誌

発表者氏名	論文タイトル名	発表誌名	巻号	ページ	出版年
Matsumoto H, Maruse H, Sasazaki S, Fujiwara A, <u>Takeda</u> <u>S</u> , Ichihara N, Kikuchi T, Mukai F, Mannen H	Expression pattern of WWP1 in muscular dystrophic and normal chickens	<i>J. Poult. Sci</i>	46	95-99	2009
Kobayashi M, Nakamura A, Hasegawa D, Fujita M, Orima H, <u>Takeda S</u>	Evaluation of dystrophic dog pathology by fat-suppressed T2-weighted imaging	<i>Muscle Nerve</i>	40巻 5号	815-826	2009
Nakamura A, <u>Takeda S</u>	Exon-skipping therapy for Duchenne muscular dystrophy	<i>Neuropathology</i>	29巻 4号	494-501	2009
Chang H, Yoshimoto M, Umeda K, Iwasa T, Mizuno Y, Fukada S, Yamamoto H, Motohashi N, Miyagoe-Suzuki Y, <u>Takeda</u> <u>S</u> , Heike T, Nakahata T	Generation of transplantable, functional satellite-like cells from mouse embryonic stem cells	<i>FASEB J</i>	23巻 6号	1907-1919	2009
Yokota T, Lu QL, Partridge T, Kobayashi M, Nakamura A, <u>Takeda S</u> , Hoffman E	Efficacy of systemic morpholino exon-skipping in Duchenne dystrophy dogs	<i>Ann Neurol.</i>	65巻 6号	667-676	2009

Miyagoe-Suzuki Y, Masubuchi N, Miyamoto K, Wada MR, Yuasa S, Saito F, Matsumura K, Kaneko H, Kudo A, Manya H, Endo T, <u>Takeda S</u>	Reduced proliferative activity of primary POMGnT1-null myoblasts in vitro	<i>Mech Dev</i>	126 卷 3-4 号	107-116	2009
Yokota T, <u>Takeda S</u> , Lu QL, Partridge TA, Nakamura A, Hoffman EP	A renaissance for antisense oligonucleotide drugs in neurology: exon skipping breaks new ground	<i>Arch Neurol.</i>	66 卷 1 号	32-38	2009
Ohshima S, Shin JH, Yuasa K, Nishiyama A, Kira J, <u>Okada T</u> , <u>Takeda S</u>	Transduction efficiency and immune response associated with the administration of AAV8 vector into dog skeletal muscle	<i>Mol Ther.</i>	17 卷 1 号	73-80	2009
大澤真木子、舟塚 真	先天性筋ジストロフィー(福山型を中心に)	J Clin Rehab	19 (1)	89-93	2010
<u>Kimura S.</u> , et al.	A 2-bp deletion in exon 74 of the dystrophin gene does not clearly induce muscle weakness.	Brain Dev.	31	169-172	2009
Nicolino N., <u>Kimura S.</u> , et al.	Clinical Outcomes after Long-term Treatment with Alglucosidase Alfa in Infants and Children with Advanced Pompe Disease.	Genet. Med.	11	210-219	2009
<u>Kimura S.</u> , et al	A case report of myoclonic epilepsy with ragged-red fibers without increased lactate levels.	Pediatr. Neurol.	41	46-48	2009
中林哲夫, 中村治雅, 岡本長久	本邦における国際共同治験の現状と課題 -抗うつ薬開発の最近の動向-	臨床精神神経薬理	13	255-263	2010

疾患編

17. 筋ジストロフィー、多発筋炎

国立精神・神経センター神経研究所 遺伝子疾患治療研究部 青木吉嗣・武田伸一

Key words Duchenne型筋ジストロフィー、多発筋炎、皮膚筋炎

要 点

- ① Duchenne型筋ジストロフィー（DMD）の確定診断は、遺伝学的検査あるいは筋生検により行う。
- ② DMDの骨格筋および呼吸機能の改善を目的にステロイド投与を行う。
- ③ DMDでは、心不全と呼吸障害を中心とした全身管理が重要である。
- ④ 多発筋炎・皮膚筋炎は、ステロイド、免疫抑制剤、免疫グロブリンにより加療を行う。
- ⑤ 多発筋炎・皮膚筋炎は、悪性腫瘍や間質性肺炎の合併に注意する。

—重要なポイント—

- ① 筋ジストロフィーは、骨格筋の壊死・変性を主病変とし、臨床的には進行性の筋力低下をみる遺伝性の疾患である。筋ジストロフィーのうち、もっとも頻度が高く重症の経過をとるDuchenne型筋ジストロフィーを中心に、呼吸および循環管理に加えて、ステロイド、アンジオテンシン変換酵素阻害薬、交感神経β受容体遮断薬などにより筋障害の改善が試みられている。
- ② 後天性筋疾患の代表である特発性炎症性ミオパチーは、多発筋炎、皮膚筋炎、封入体筋炎に分類される。特に多発筋炎は横紋筋のびまん性炎症性筋疾患であり、特徴的な皮疹を呈するものは皮膚筋炎という。成人に比較的多くみられ、ステロイド、免疫抑制剤、免疫グロブリンが筋力低下に奏効する場合が多いが、悪性腫瘍や間質性肺炎の合併例は予後不良である。

A

Duchenne型筋ジストロフィー
(Duchenne muscular dystrophy : DMD)

筋ジストロフィーは「骨格筋の壊死・変性を主病変とし、臨床的には進行性の筋力

低下をみる遺伝性の疾患である」と定義される。筋ジストロフィーのうち、もっとも頻度が高く重症の経過をとるDuchenne型筋ジストロフィー（DMD）は、ジストロフィン遺伝子（Xp21.2）の変異により、骨格筋膜の安定性に重要なジストロフィンが欠損す

ることで発症する。ジストロフィンの欠損が不完全な場合はベッカー型筋ジストロフィー (Becker muscular dystrophy : BMD) の表現型をとる。DMDは、X染色体連鎖遺伝形式をとり、新生男児3,500人に1人の割合で発症する。

1. 臨床像

2～5歳前後で転びやすい、歩行が遅いなどの症状で気づかれることが多いが、高CK血症を偶発的に指摘され診断に至ることもある。特徴的な登はん性起立 (Gowers 徴候) を呈する。病初期には明らかな筋萎縮は認めず、腓腹部や舌などの筋肥大を示す場合が多いが、徐々に近位筋優位の筋力低下が進行して歩行は動搖性となり、12歳までに歩行不能となり車椅子生活に移行する。前後して脊柱側彎や関節拘縮の出現をみる。13歳前後で座位の保持も困難となる。呼吸筋の筋力低下のため10歳後半に呼吸不全が生じ、次第に心機能の低下も出現する。主として呼吸管理の進歩により、平均死亡年齢は過去20年で10年程度延長し、30歳前後になった。現在の死因は主に心不全および呼吸不全である。

2. 検査所見

1) 血液生化学検査

乳児期より著明な高CK血症 (20,000～40,000 U/L)，アルドラーゼなどの筋原性酵素の上昇をみると、筋萎縮の進行とともに低下する。AST, ALT, LDHも上昇し、肝機能障害と誤る場合がある。

2) 筋電図

随意収縮時に、低振幅・短持続時間の運動単位、運動単位の早期動員 (early recruit-

ment) がみられる。

3) 画像検査

骨格筋CT, MRIでは5歳頃から大殿筋の脂肪置換を認める。10歳以降では大腿四頭筋 (特に大腿直筋), 大内転筋と大腿二頭筋, 傍脊柱筋を中心に近位筋優位に筋容積の減少や脂肪置換が顕著となるが、薄筋と縫工筋は比較的保たれる (selectivity pattern)。

4) 遺伝学的検査

他の検査所見からDMD/BMDの可能性が疑われ、臨床的および遺伝医学的に有用と考えられる場合に実施を検討する。遺伝学的検査は、生涯変化しない個人の重要な遺伝学的情報を扱うため、担当医師から被験者 (保護者) に対して、検査を行う意義、利点と限界、その結果が家族や親族に及ぼす影響について十分説明し、書面による同意を得た上で、遺伝子異常が診断されたときの支援まで準備して実施されるべきである。検査実施前後に遺伝カウンセラーが遺伝カウンセリングを実施することが望ましい。

最近、遺伝子変異が確立した男性のDMD/BMD患者を対象に、臨床試験/治験の実施を目的とした筋ジストロフィー患者登録サイトの運用が開始された (Remudy : registry of muscular dystrophy. <http://www.remudy.jp/index.html>)。登録に際しては、全例に multiplex ligation-dependent probe amplification (MLPA) 法によるスクリーニング検査を行い (保険診療)，必要に応じてシークエンス解析、筋生検を実施する。

5) 筋生検

筋病理では、筋の壊死・変性、再生線維の混在、筋線維の大小不同、結合織の増生

がみられる。免疫組織化学染色では、DMDの筋細胞膜はジストロフィンをほぼ完全に欠損するが、BMDの細胞膜はまだら状(faint and patchy)に染色される。

3. 治療方針

DMDに対するステロイド投与の有効性に関して、筋力の増強あるいは維持と呼吸機能の改善がランダム化比較対照試験により証明されている。5～15歳の症例ではプレドニゾロン(プレドニン[®]) 0.75 mg/kg/日の連続投与が治療の第一選択である。体重增加などの副作用の面から投与量の減量が望ましい場合には、0.5 mg/kg/日に減量し、3～4カ月でさらに0.3 mg/kg/日へと減量する。

【心不全】

定期的に脳性ナトリウム利尿ペプチド(brain natriuretic peptide : BNP)の測定や心エコーを施行し、左室駆出率40%以下(BNP 20～60 pg/mL)で、アンジオテンシン変換酵素阻害薬(レニベース[®]、2.5 mg/日から開始し漸増)、交感神経β受容体遮断薬(アーチスト[®]、1.25 mg/日から開始し漸増。上限は10 mg/日)を開始する。心筋障害が進行した際は拡張型心筋症の心不全に準じ、強心薬、利尿薬も加える。

【呼吸障害】

定期的なSpO₂、%VC、ピークカフフロー、終末呼気炭酸ガス濃度の測定が重要である。開始時期は、低酸素に基づく症状がある場合、睡眠時にSpO₂低下がある場合、VCが1L(あるいは%VCが20%)を下回る時期の前後、PaCO₂が55 Torr以上であれば夜間に非侵襲的陽圧換気療法(Noninvasive Positive Pressure Ventilation : NPPV)を開

始する。病状、病態に応じて昼間にもNPPVを追加する。排痰障害にはカフレーター(Mechanical In-Exsufflator : MI-E)や肺内パーカッション換気療法(IPV)も有効である。

4. 患者指導とりハビリテーション

早期より側弯と関節拘縮の予防に努め、必要に応じて装具、コルセットを作製する。最大強制吸気量維持のため呼吸訓練を行い、舌咽頭呼吸の習得を試みる。側弯は外科的治療も含め積極的に治療する。過度の痩せは消化管機能を低下させるため栄養指導が大切である。

5. 根本的治療開発の動向

現在DMDに対して、PTC124によるリード・スルー療法、ES/iPS細胞や筋芽細胞の移植治療、ウイルスベクターによる遺伝子治療などの開発が進められている。当研究部では、これまでアンチセンス・モルフォリノを用いたエクソン・スキッピング療法の前臨床試験を行ってきた。この成果を踏まえて、DMDを対象にしたエクソン51スキッピングの臨床治験を実施する準備を進めている。



B 多発筋炎 (polymyositis : PM),
皮膚筋炎 (dermatomyositis : DM)

後天性筋疾患の代表である特発性炎症性ミオパチーは、多発筋炎、皮膚筋炎、封入体筋炎に分類される。特に多発筋炎は横紋筋のびまん性炎症性筋疾患であり、特徴的な皮疹を呈するものは皮膚筋炎という。多発筋炎・皮膚筋炎の有病率は人口10万あたり

り約6人と推定される。男女比は女性が約2倍と多い。発症年齢の約半数は40～60歳である。

1. 病因

発症には自己免疫機序が関与する。多発筋炎では、筋線維・間質・血管周囲にマクロファージ、CD8⁺T細胞が浸潤し、筋線維内のカルパインなどのタンパク分解酵素を活性化する結果、筋線維は壊死する（細胞性免疫）。皮膚筋炎では、主に筋周膜の血管周囲や間質にB細胞、CD4⁺T細胞（ヘルパーT細胞）が浸潤する（液性免疫）。筋内微小血管の内皮細胞が傷害される結果、循環障害による筋束周囲萎縮が生じる。

2. 臨床像

急性ないし亜急性（数週～数ヵ月）に進行する。初発症状は、四肢近位筋・頸筋・体幹の筋力低下、筋痛、関節痛がみられることが多い。遠位筋力の低下は遅れて生ずる。進行例では筋萎縮を認めることがある。嚥下障害が生じることがあるが、構音障害を伴うことは少ない。びまん性間質性肺炎、肺線維症、心筋炎をしばしば合併する。自然寛解や増悪を繰り返しつつ徐々に進行し、5年生存率は約75%である。皮膚筋炎は多発筋炎と類似した臨床像を呈するが、ゴットロン徵候（指関節伸側で肥厚した紅斑）、ヘリオトロープ疹（上眼瞼の紫紅色の浮腫性紅斑）を伴うことを特徴とする。皮膚筋炎の悪性腫瘍合併頻度は約20%であり、多発筋炎と比べて2.1～6.5倍高い。女性では、乳癌・卵巣腫瘍、男性では肺癌・消化器癌・前立腺癌が多い。女性の悪性腫瘍合併率は男性の約2倍で、50歳以上は高い。

3. 検査所見

1) 血液生化学検査

活動期には血清CK値は正常値の約10倍に上昇し、ミオグロビン値も上昇する。アルドراーゼ、AST、ALT、LDH、%クレアチニン尿（尿中クレアチニン/尿中クレアチニン十尿中クレアチニン）が上昇し、活動性の指標判定に有用である。

2) 筋電図

随意収縮時には、低振幅・短持続時間の運動単位、運動単位の早期動員（early recruitment）がみられる。刺入電位は亢進していることが多い。安静時には線維性収縮電位、陽性鋭波を認める。

3) 画像検査

急性期の骨格筋MRIは、STIR（Short TI Inversion Recovery）法および脂肪抑制T2強調画像では、病変は多巣性あるいはびまん性の高信号を示す。進行例は、筋萎縮およびT1強調画像で高信号を示す。

4) 筋生検

筋束内の周辺・筋線維の内部・血管周囲にCD8⁺T細胞やマクロファージの浸潤像、筋線維の変性と再生、結合織の増生を認める。特に皮膚筋炎では血管周囲の細胞浸潤が主体であり、筋束周囲萎縮が認められることが多い。

5) 自己抗体

抗Jo-1抗体は肺線維症の合併のある多発筋炎の50%，皮膚筋炎の20%に認められる。抗シグナル認識粒子（SRP）抗体は筋炎と心障害を伴う急性発症の重症皮膚筋炎および多発筋炎の5%に検出される。皮膚筋炎に特異的な抗Mi-2抗体は35%で検出され、抗

p155 抗体は悪性腫瘍合併例で高率とされる。その他の膠原病を合併するオーバーラップ(重複)症候群では、抗PM-1抗体(強皮症)、抗Ku抗体(強皮症・全身性エリテマトーデス)、抗nRNP抗体(混合性結合組織病)が陽性となることがある。

4. 診断

Bohan と Peter の診断基準や皮膚筋炎・多発筋炎の改訂診断基準(厚生省特定疾患自己免疫疾患調査研究班平成4年度研究報告、pp25-28、1993)が汎用される。

5. 治療方針

多発筋炎あるいは皮膚筋炎の確定診断後は、プレドニン® 1～1.5 mg/kg/日を1～2ヵ月間連日投与する。筋力の改善、血清CK値の減少がみられれば2週間に10%の割合でプレドニン®を減量し、2～3年程度は維持療法を行う。筋症状は早期治療例ほど回復がよい。改善がないときは同量を1～2ヵ月間投与するか、ステロイドパルス療法を2～3クール行う(メチルプレドニゾロン1 g/回の3日間連続投与)。効果がない場合はメトトレキサート(メソトレキセート®、5～25 mg/週、経口あるいは筋肉内投与)、アザチオプリン(イムラン®、50～100 mg/日、経口投与)などを併用する。ステロイド、免疫抑制薬の無効例では、追加療法として免疫グロブリン療法を併用する。

6. 治療のポイント

筋症状増悪時には筋炎の再燃か、ステロイドミオパシーの合併かの鑑別が重要であ

る。血清CK値上昇、筋電図で線維性収縮電位や陽性鋭波の出現頻度が上昇した場合には再燃を疑う。ステロイドミオパシーは、プレドニン内服を4週間以上続けた場合に発症し、下肢近位筋優位の筋力低下・筋萎縮を呈するが、顔面筋および頸部伸展筋は保たれ、血清CK値は低下する。

7. 患者指導とりハビリテーション

急性期は等尺性収縮以外の運動は避ける。安定後は誤嚥性肺炎、廃用性筋萎縮、関節拘縮予防のための理学療法を早期に開始する。

謝辞：本稿の執筆にあたり貴重なご助言を頂いた国立病院機構東埼玉病院 神経内科 尾方克久先生、国立精神・神経センター病院 神経内科 大矢寧先生、同院 遺伝カウンセリング室 池上弥生遺伝カウンセラーに感謝します。

文 献

- 1) Moxley RT 3rd, et al. : Practice parameter : corticosteroid treatment of Duchenne dystrophy ; report of the Quality Standards Subcommittee of the American Academy of Neurology and the Practice Committee of the Child Neurology Society. Neurology, 64 : 13-20, 2005.
- 2) Bohan A & Peter JB : Polymyositis and dermatomyositis. N Engl J Med, 292 : 344-347, 1975.
- 3) Dalakas MC : Therapeutic targets in patients with inflammatory myopathies ; present approaches and a look to the future. Neuromuscul Disord, 16 : 223-236, 2006.

5. 骨格筋

骨格筋は傷害を受けると再生する（図1）。筋傷害シグナルにより骨格筋特異的幹細胞である筋衛星細胞（muscle satellite cells）が活性化され、分裂・増殖し、やがてお互いに融合、あるいは既存の筋線維と融合して筋線維を再生する。デュシェンヌ型筋ジストロフィー（Duchenne muscular dystrophy; DMD）等の重篤な遺伝性筋疾患に対して筋・幹細胞を移植する再生医療が期待されているが、その確立のために、筋組織の再生がどのように制御されているかを理解することが重要である。

a. 骨格筋衛星細胞

筋衛星細胞は筋基底膜と筋線維の間に単

核の細胞で1961年にAlexander Mauroによって初めてその存在を記載された。通常、細胞周期のG0の状態にあるが、筋傷害時に活性化され、増殖して筋線維を再生する。生直後は骨格筋組織の中の核の30%程度が筋衛星細胞の核であるが、成体になると5%程度とほぼ一定になる。体幹と四肢の骨格筋の発生学的な起源は沿軸中胚葉由来の体節であり、その中に形成されるdermomyotomeに出現するPax3, Pax7陽性の筋前駆細胞（muscle progenitor cells）が増殖し、やがてMyf5, MyoD等の筋分化制御遺伝子を発現して筋芽細胞（myoblast）となり、次に増殖を止め、融合して、筋線維を形成する。筋衛星細胞はその過程で派生していく

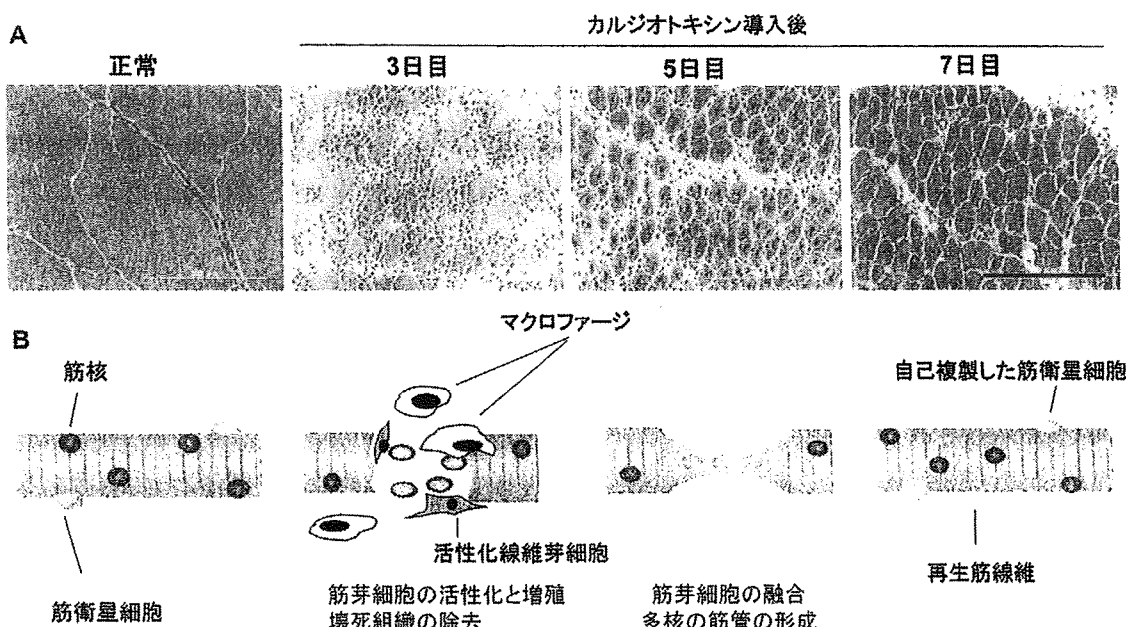


図1 骨格筋の再生

- A) C57Bl/6マウス骨格筋に蛇毒であるカルジオトキシンを導入して筋傷害を引き起こした後の組織修復過程を示す。ヘマトキシリソ・エオジン染色。スケールバー：200ミクロン。
- B) 骨格筋特異的幹細胞である筋衛星細胞は、静止期の状態では筋基底膜と筋線維の間に存在するが、筋傷害時には活性化し、増殖する（筋芽細胞）。やがてお互いに融合し、あるいは既存の筋線維と融合して筋再生が完了する。この過程には好中球やマクロファージ等による壞死組織の貪食機能が重要である。活性化した筋衛星細胞の一部は、元の筋衛星細胞の状態に戻る（自己複製）。

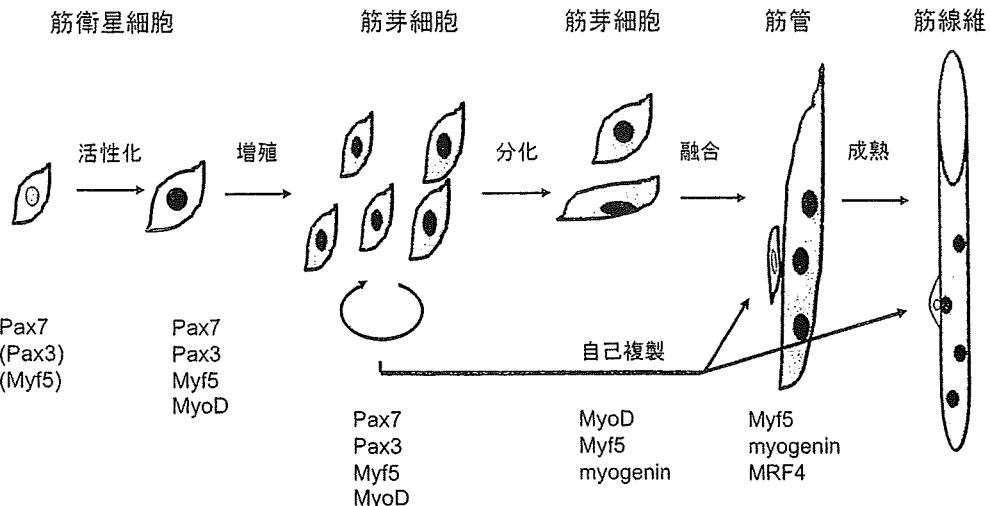


図2 筋衛星細胞の分化過程とその制御因子

筋衛星細胞の筋分化は、発生過程の筋分化と類似しているが、その維持には Pax7 が重要な働きを持つ。筋衛星細胞が不均等分裂により自己複製すると考えられているが、そのタイミングや制御分子に関しては不明な点が多い。

る。c-Met, Pax7, Myf5, M-cadherin, CD34 等が筋衛星細胞特異的マーカーとして知られているが、昨今の網羅的遺伝子発現研究等の結果、新しいマーカー（カルシトニン・レセプター、odz4 等）がリストに加わってきた。筋衛星細胞研究には実験動物の骨格筋から筋衛星細胞を高い純度で分離する方法が有用だが、従来は、線維芽細胞との培養皿への接着性の違いを利用して preplating 法、現在は各種細胞表面マーカーで染色しセル・ソーターで分離する方法が用いられている。筋衛星細胞は自己複製することで、一生涯にわたって筋再生能を維持する（図1、図2）。その機構として不均等分裂が提唱されているが、その分裂様式、制御因子等、不明な点が残されている。

b. 筋衛星細胞の活性化、増殖、分化

骨格筋が傷害されると nitric oxide synthase (NOS) が活性化され、nitric oxide (NO) が産生され、hepatocyte growth factor (HGF；肝細胞増殖因子) を活性化し、c-Met レセプターへ結合する。c-Met を介したシグナルが筋衛星細胞を活性化し、筋衛星細胞は活発に増殖する。筋衛星細胞の増殖能は分裂を繰り返す

と徐々に低下する。とくに筋ジストロフィー等の、筋変性・壞死、再生を繰り返す筋疾患では、筋衛星細胞の増殖能は徐々に低下し、筋再生が筋壊死に追いつかなくなり、筋線維が脱落し、筋力が低下していく。筋衛星細胞は筋細胞の他に脂肪細胞、骨細胞にも分化することが報告されているので、筋疾患の進行した段階で認められる脂肪変性や、徐々に筋組織の骨化が進行する進行性骨化性線維異形成症等の遺伝性の疾患の発症に関与する可能性がある。

c. 筋・幹細胞と再生医療

1990 年代前半、近親者から得た筋衛星細胞を培養後、DMD 患者の骨格筋へ移植する筋芽細胞移植が行われたが、その効率は低かった。移植直後に多くの筋芽細胞が死んでしまうこと、移植後筋芽細胞があまり移動しないこと、免疫抑制が不十分であったこと等が原因であったと推察されている。1998 年、骨髄細胞が筋線維へ分化し、さらに筋衛星細胞へ分化することが示され¹⁾、造血幹細胞の可塑性との関連で、DMD への治療応用が期待されたが、その筋線維再生への寄与率はわずかであり、またその分化機序は依然不明で、大部分は細胞融合に

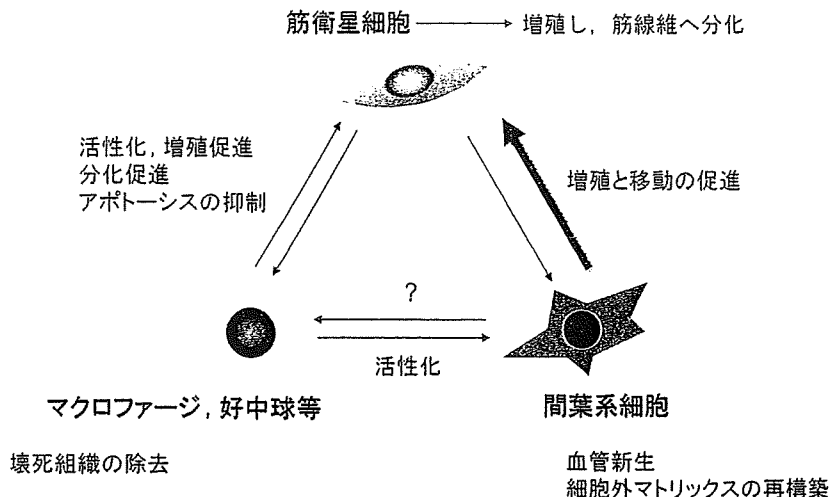


図3 筋再生を制御する細胞とそのネットワーク

筋再生過程では、筋前駆細胞である筋衛星細胞が中心的な役割を果たすが、その他に、壊死組織の除去を担うマクロファージ、好中球等が重要な細胞である。さらに間葉系細胞が間質に存在し、筋傷害時に活性化し、細胞外マトリックスの分解と再構築を促進し、血管新生を制御することで筋再生を制御している。これらの細胞は、直接相互作用する他に、サイトカイン等を介してお互いの活性化、増殖や移動、生存、分化を制御している。

よると思われた。しかし血中の AC133 陽性細胞は移植すると効率よく筋線維に分化するという報告もあり、循環している細胞の中に筋分化能を持つ特別な細胞が存在する可能性は否定できない。一方、骨格筋組織の間質や血管周囲にも、多能性を持ち、筋細胞へも分化する細胞が数多く報告されているが、これらの細胞の相互関係ははっきりしない。それらは、ヘキスト色素を排出する能力に富む side population 細胞 (SP cells), 血管周囲に存在するペリサイト (pericyte), 同じく血管組織に由来するメソアンギオblast (mesoangioblast), muscle-derived stem cells, myo-endothelial cells 等である。数量的には筋衛星細胞が筋線維再生に最も寄与していることは広く認められているが、筋変性疾患に対する移植治療という観点では、移植後の生存率が低く、局所にしか生着しない筋衛星細胞に対して、経動脈的、あるいは経静脈的に移植可能なこれらの多能性幹細胞の利用が期待されている²⁾。

d. 筋再生におけるマクロファージや線維芽細胞の役割

筋再生はさまざまな細胞間の相互作用によって完了する。なかでもとくに重要な細胞はマクロファージと間質の線維芽細胞様の間葉系細胞であろう(図3)。マクロファージは壊死組織の除去の他に、筋衛星細胞の活性化やアポトーシスの抑制、筋分化の促進等の機能があると考えられており³⁾、その機能不全で筋再生は障害される。間葉系細胞も筋再生時に活性化され、増殖し、MMPs 等のプロテアーゼを分泌し、細胞移動の促進、細胞外マトリックスの分解・再構築、血管新生、各種成長因子の活性化に関わっている。また、各種ケモカインを分泌しており、炎症細胞、免疫担当細胞の制御にも関与していると思われる。間葉系細胞は in vitro でも脂肪細胞へ分化しやすい傾向を持ち、この細胞の機能低下や異常な活性化が、筋再生の遅延、筋組織の線維化、脂肪変性に関わっていると考えられるので、再生医療の良き標的である。

[鈴木友子、武田伸一]

■文献

- 1) Ferrari G, Cusella-De Angelis G, Coletta M, et al : Muscle regeneration by bone marrow-derived myogenic progenitors. *Science* 279(5356) : 1528-1530, 1998.
- 2) Boldrin L, Morgan JE : Activating muscle stem cells : therapeutic potential in muscle diseases.
- Curr Opin Neurol 20(5) : 577-582, 2007.
- 3) Arnold L, Henry A, Poron F, et al : Inflammatory monocytes recruited after skeletal muscle injury switch into antiinflammatory macrophages to support myogenesis. *J Exp Med* 204(5) : 1057-1069, 2007.

筋ジストロフィーの遺伝子治療導入に向けての運動機能評価に関する検討～6分間歩行試験を中心に～

分担研究者 大澤真木子
東京女子医科大学 小児科
石垣 景子、村上てるみ、佐藤孝俊、宍倉啓子
鈴木暘子、平山義人、斎藤加代子
東京女子医科大学 小児科

＜目的＞Duchenne型筋ジストロフィー(DMD)に対する遺伝子治療の試験的な臨床実施にあたり、適切に運動機能を評価する尺度が必要である。既に過去の研究班では、DMDの適正な運動機能評価方法が検討されてきたが、遺伝子治療導入に際しては、先行する欧米の治験方法が用いられる可能性もある。欧米で頻用される6分間歩行試験(6-minute walk test: 6MWT)に関し、小児DMD患者の運動機能評価に適正か評価を行う。

＜対象と方法＞(1) 小児 DMD 患者に 6MWT を実施し、実効性、患者の負担の評価を行い、(2) 酵素補充療法中の小児型 Pompe 病患者に用いた運動評価項目の有用性の評価を行った。(1)は東京女子医科大学小児科外来を 2008 年 4 月から 12 月の 9 カ月間に受診した DMD35 例(年齢 1 歳 3 カ月～29 歳 7 カ月)の内、自立歩行可能な 12 例(1 歳 3 カ月～10 歳 1 カ月)の中で同意を頂いた 10 例(3 歳 1 カ月～9 歳 11 カ月)に実施した。方法はアメリカ胸部学会のプロトコールを基本とした。塩化ビニール製廊下の床上で実施し、2m 間隔で被験者も確認可能な印をつけ、10m の距離間を折り返しで歩行した。最初の 10m の歩行時間、ならびに 6 分間の歩行距離を測定した。立会は医師と母親のみとし、声掛け、励ましと、児に触れない距離で母親が付き添い歩行を可とした。患者が苦痛を訴えた場合は即座に中止とした。(2)は 12 歳小児型 Pompe 病男子に対して、酵素補充療法開始後 1 年 6 カ月の経過で、握力、MMT、体位変換時間、階段昇降・跳躍のビデオ評価、6MWT に関して、2 週間毎に行った結果と臨床経過との相関を評価した。

＜結果＞(1) 精神遅滞のある 3 歳 1 カ月 (DQ60) では検査を嫌がり、実施出来なかった。検査を理解し実施した 9 例の内、完遂したのは 4 例(4 歳 1 カ月、5 歳 9 カ月 2 名、9 歳 4 カ月)で、5 例は途中で中止した。特に、8 歳以上の 5 例(8 歳 6 カ月～9 歳 11 カ月)で完遂したのは 1 例のみ(9 歳 4 カ月)で、残り 4 例は下肢の疲労、筋痛を理由に中止した(1 分 32 秒～4 分 20 秒)。施行前後で SpO₂ や心拍数の変化は認めなかった。10m 歩行時間結果は個人のばらつきが強く、6MWT の結果とも一致していなかった。(2) 酵素補充療法開始後、臨床症状、呼吸機能、運動機

能ともに改善を認めたが、9 カ月をピークに再び増悪した。この経過を最も適切に反映した項目は、体位変換時間の中で起座、起立に要する時間であった。握力、MMT、仰臥位から腹臥位の体位変換時間は相關していなかった。6MWT 結果は毎回 200m ほどのばらつきがあり、治療効果による病状の変化も反映しなかった。

＜考察＞結果(1)から、低年齢、精神遅滞のある例では実施が難しく、8 歳以上の進行した状態では完遂が困難と言える。心肺機能への侵襲性は低いと推察できる一方で、半数が終了時に苦痛を訴え、負担を伴う検査であると評価した。10m 歩行時間は簡便ではあるが、重症度の反映度は低かった。結果(2)からは、小児型 Pompe 病は根本的治療が既に始まっており、かつ DMD と類似の骨格筋症状を示すことから、運動機能評価には類似した項目が使用できると考えた。跳躍や階段昇降のビデオ撮影に関しては、数値的に評価できず客観性を欠くという意味で体位変換時間測定に劣った。6MWT は意欲、周囲からの励ましなどの影響が強く、患者本人が結果を調整可能であるという欠点も浮き彫りになった。

6MWT はアメリカ胸部学会に認定された持久力評価試験である。self paced な試験であることから、心肺に対する負担が少なく、簡便かつ経済的と評価されている。小児から成人まで対照データが多くある利点もある。心血管系、肺疾患に対しては、進行度や予後の予測値、治療導入時の効果判定の評価項目として確立している。欧米ではムコ多糖症や Pompe 病の酵素補充療法の治療評価項目としても使用され、本邦でも同様のガイドラインに従ってこの項目を使用している。しかし、本来筋疾患用の評価項目ではなく、文献上のエビデンスもない。欠点として、患者本人がコントロール可能な上、意欲や周囲の環境を受けやすく客観的評価としては難しいこと、さらに成長発達(加齢、身長、体重増加)と共にデータは上がるため、治療効果との区別は困難であること、学習効果があり長期的評価には向かないことがあげられる。さらには下肢に負担がかかり過ぎることから、小児 DMD 患者の治療効果評価として不適と考える。

＜結論＞6MWT は小児 DMD 患者の遺伝子治療の効果評価として不適である。長期評価には体位変換時間がより適している。

＜文献＞

- (1) A six-minute walk test for assessing exercise tolerance in severely ill children. Nixon PA, Joswiak ML, Fricker FJ. J Pediatr. 1996 Sep;129(3):362-6.
- (2) The six-minute walk test in healthy children: reliability and validity. Li AM, Yin J, Yu CC, Tsang T, Sung R et al. Eur Respir J. 2005 Jun;25(6):1057-60

Expression Pattern of *WWP1* in Muscular Dystrophic and Normal Chickens

Hirokazu Matsumoto¹, Hideaki Maruse¹, Shinji Sasazaki¹, Akira Fujiwara², Shin'ichi Takeda³, Nobutsune Ichihara^{4,5}, Tateki Kikuchi³, Fumio Mukai¹ and Hideyuki Mannen¹

¹ Laboratory of Animal Breeding and Genetics, Graduate School of Agricultural Science,
Kobe University, Kobe 657-8501, Japan

² Laboratory Animal Research Station, Nippon Institute for Biological Science, Kobuchisawa 408-0041, Japan

³ Department of Molecular Therapy and of ⁴Animal Models for Human Disease,
National Institute of Neuroscience, NCNP, Kodaira, Tokyo 182-8502, Japan

⁵ Department of Anatomy I, School of veterinary medicine, Azabu University,
Fuchinobe, Sagamihara, Kanagawa 229-8501, Japan

The WW domain containing E3 ubiquitin protein ligase 1 (*WWP1*) is classified into one of ubiquitin ligases which play an important role in ubiquitin-proteasome pathway. Previously, we identified the *WWP1* gene as a candidate gene of chicken muscular dystrophy by linkage analysis and sequence comparison. However, the mechanism causing pathological changes and underlying gene function remains elucidated. In the present study, we analyzed the *WWP1* gene expression in various muscles and tissues of normal chickens, and compared with those from muscular dystrophic chickens. Two mRNA isoforms were detected in all tissues examined and revealed almost equal expression level. The *WWP1* expression of dystrophic chickens was decreased in almost all skeletal muscles including unaffected muscles. These data indicate that there might not be a causal relationship between the alteration of *WWP1* expression level and the severity of muscular dystrophy.

Key words: chicken, expression analysis, fast twitch muscle fiber, muscular dystrophy, *WWP1*

J. Poult. Sci., 46: 95–99, 2009

Introduction

The WW domain containing E3 ubiquitin protein ligase 1 (*WWP1*) is classified into an ubiquitin ligase (E3) which plays an important role in ubiquitin-proteasome pathway (UPP) to degrade unneeded or damaged proteins (Scheffner and Staub, 2007). E3 recognizes and catalyzes ubiquitin (Ub) conjugation to specific protein substrates (Liu, 2004). Comparative genome analysis reveals few genes encoding E1, tens of E2 encoding genes and hundreds of E3 encoding genes (Semple *et al.*, 2003).

The *WWP1* gene is classified into HECT (homologous to the E6-AP carboxyl terminus)-type E3 which possesses one C2 domain, multiple WW domains and one HECT domain (Pirozzi *et al.*, 1997; Flasza *et al.*, 2002). The C2 domain binds to the cellular membranes in a Ca²⁺-dependent manner (Plant *et al.*, 1997) and mediates interactions with other proteins (Plant *et al.*, 2000; von

Poser *et al.*, 2000; Augustine, 2001). The WW domain has two conserved tryptophan residues and binds proline-rich region (Sudol *et al.*, 1985). HECT domain, similar to E2s structurally, has a cysteine residue as an active center that transfers the activated Ub from E2 onto first itself, and then onto its substrates (Jackson *et al.*, 2000).

The muscular dystrophies are the group of inherited diseases with progressive weakness and degeneration of skeletal muscle (Partridge, 1991). It is well known that abnormalities of muscle proteins linking sarcolemma and basal lamina lead to cause muscular dystrophies (Lisi and Cohn, 2007), but there are a number of muscular dystrophies and related diseases of which causes are still unknown. We identified *WWP1* gene as a candidate responsible for the chicken muscular dystrophy by the linkage analysis (Matsumoto *et al.*, 2007) and the sequence comparison between normal and dystrophic chickens (Matsumoto *et al.*, 2008). The R441Q missense mutation was found in *WWP1* gene to cause the phenotype of muscular dystrophy.

The *WWP1*s of human (Flasza *et al.*, 2002; Komuro *et al.*, 2004), mouse (Dallas *et al.*, 2006) and *C. elegans* (Huang *et al.*, 2000) were intensively studied and known

Received: October 10, 2008, Accepted: December 24, 2008

Correspondence: Dr. H. Mannen, Graduate School of Agricultural Science, Kobe University, Kobe 657-8501, Japan.
(E-mail: mannen@kobe-u.ac.jp)

that the *WWP1* gene is expressed ubiquitously, but strongly in liver, bone marrow, testis and skeletal muscles (Flasza *et al.*, 2002; Komuro *et al.*, 2004). In chicken, however, the *WWP1* expression has not been studied. The expression analysis of *WWP1* gene is important since it was reported that altered expression of known responsible gene could lead dystrophic phenotype (Smythe and Rando, 2006).

In this study, we analyzed the mRNA expression of *WWP1* in various skeletal muscles and other tissues of normal and dystrophic chickens by using Northern blotting and reverse transcription (RT)-PCR analysis to know the differences in the general expression pattern between them.

Materials and Methods

Chickens

A two-month-old dystrophic chicken (New Hampshire: NH-413) and an age-matched normal chicken (White Leghorn: WL-F) were used in this study. The New Hampshire (NH-413) strain is a homozygous dystrophic line introduced from University of California, Davis to Japan in 1976 (Kondo *et al.*, 1982). The disease in this strain is transmitted co-dominantly by a single gene, but the phenotype is modified by other background genes (Kikuchi *et al.*, 1981, 1987; Wilson *et al.*, 1979). The White Leghorn (WL-F) strain was established in 1970s, and maintained as closed colony in the Nippon Institute of Biological Science in Yamanashi, Japan. This study was carried out according to the guidelines of Animal Experimentation of Kobe University.

Expression analysis

For Northern blotting, mRNAs were isolated from *M. pectoralis superficialis* (PS), *M. tensor fascia lata* (TFL), *M. biceps femoris* (BF), *M. triceps surae* (TS), *M. peroneus longus* (PL), heart (H), brain (B), liver (L), kidney (K) and whole embryo (E) with PolyATtract mRNA Isolation kit (Promega, Madison, WI, USA). The 2 µg of mRNAs, which were measured with NanoDrop ND-1000 spectrophotometer (NanoDrop Technologies, Wilmington, DE, USA), were resolved by 1.2% agarose gel electrophoresis in the presence of formaldehyde and blotted onto Hybond-N+ membrane (GE Healthcare Bio-Sciences AB, Uppsala, Sweden). The mRNAs were visualized using digoxigenin (DIG) reagents, and kits for non-radioactive nucleic acid labeling and detection system (Roche Diagnostics, Basel, Switzerland) according to the procedure specified by the manufacturer excepting that the washing was done with 4×SCC 0.1% SDS at room temperature for 10 min, 4×SCC 0.1% SDS at 40°C for 8 min and then 2×SCC 0.1% SDS at 40°C for 8 min twice. The DIG-labeled DNA probes were prepared by PCR using DIG-dUTP using pectorals cDNA sample of a WL-F strain female as a template. The primers applied in this procedure were 5'-tccctcataatgttggaaaggcagaca-3' (*WWP1p-F*), 5'-gtaataacccaaggtaatatgtaaac-3' (*WWP1p-R*) (NM_001012554), 5'-ccgttgccaaaccccaatgt ctctg-3'

(*GAPDHp-F*) and 5'-cagtttcttatcagcctctcccacctc-3' (*GAPDHp-R*) (NM_204305). The PCR was done for 35 cycles at 94°C for 30 sec, 55°C for 30 sec, 72°C for 30 sec (*WWP1*) and for 35 cycles at 94°C for 30 sec, 63°C for 30 sec, 72°C for 30 sec (*GAPDH*) using TaKaRa Ex Taq® Hot Start Version (Takara Bio Inc., Tokyo, Japan). Quantitative analysis was performed with Scion Image (Scion Corporation, Frederick, MD, USA).

In order to analyze mRNA expression of *WWP1* gene in the PS, *M. anterior latissimus dorsi* (ALD) and H, RT-PCR method was applied. The concentration of cDNA derived from these muscles was calculated by NanoDrop ND-1000 (NanoDrop Technologies) and com-measurable cDNAs were used as template. The primers applied were 5'-attaggaagaggccactgttagact-3' (*WWP1r-F*) and 5'-tctgttgattgagggtctgtgt-3' (*WWP1r-R*) (NM_001012554). The PCR was done for 35 and 40 cycles at 94°C for 30 sec, 56°C for 30 sec, 72°C for 30 sec using TaKaRa Ex Taq® Hot Start Version (Takara Bio Inc.).

Histology

The PS, ALD and H were snap-frozen in liquid nitrogen-cooled isopentane and sectioned in a cryostat (Leica Microsystems Japan, Tokyo, Japan). The histopathology was made by hematoxylin-eosin staining (HE) method (Kikuchi *et al.*, 1981).

Results

The mRNA expression of *WWP1* gene was detected by Northern blotting in various muscles and other tissues of normal and muscular dystrophic chickens (Fig. 1). Two bands were detected in all tissues examined, and revealed almost equally expression level in any muscles and tissues observed.

In the PS, BF, TS, PL, B and K, *WWP1* gene was strongly expressed in normal than in dystrophic chickens (Fig. 1). *GAPDH* was used as an internal control of *WWP1* expression analysis. In TFL, L and E, similar *WWP1* expression level was observed between two phenotypes (Fig. 1).

RT-PCR analysis indicated that *WWP1* gene was expressed in slow tonic ALD, not only in PS and H of both phenotypes (Fig. 2A). Figure 2B shows histopathological changes in PS, ALD and H of normal and dystrophic chickens. The pathological findings in dystrophic PS were characterized by the degenerating fibers with many vacuoles in cytoplasm, the fatty infiltration into connective tissue, and the proliferation of nuclei within muscle fibers with large variation in sizes. However, no such lesions were observed in ALD and H from age-matched dystrophic chickens (Fig. 2B).

Discussion

Northern blotting with *WWP1* specific probe detected two bands in all tissues and muscles examined (Fig. 1). Northern blot analysis of *WWP1* expression in human tissues also exhibited two bands (Mosser *et al.*, 1998), and RT-PCR analysis showed that human *WWP1* gene had at

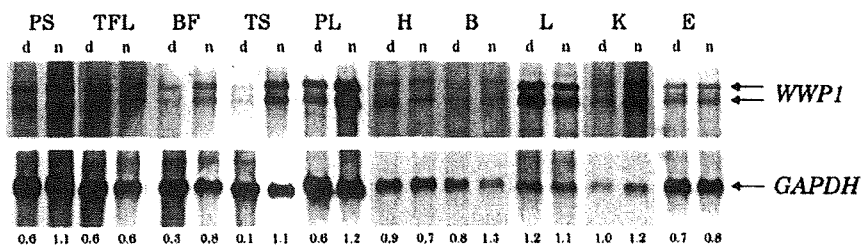


Fig. 1. Expression of chicken *WWP1* in various tissues.

A *WWP1* cDNA probe was used to detect *WWP1* mRNA transcripts by Northern blotting using blots containing 2 μ g of mRNAs from chicken muscles or various other tissues. *M. pectoralis superficialis* (PS), *M. tensor fascia lata* (TFL), *M. biceps femoris* (BF), *M. triceps surae* (TS), *M. peroneus longus* (PL), heart (H), brain (B), liver (L), kidney (K) and embryo (E) were analyzed. A doublet band is detected at variable levels in all tissues. "d" indicates mRNAs from dystrophic chickens. "n" indicates mRNAs from normal chickens. The numbers below the *GAPDH* bands represent the relative ratios of *WWP1*/*GAPDH*.

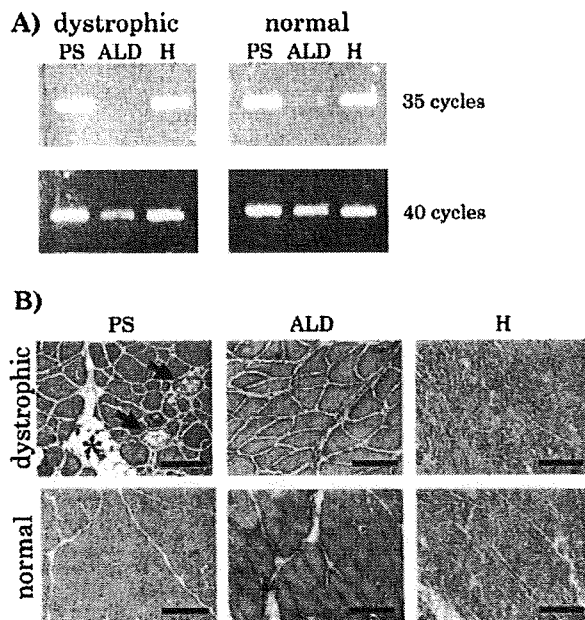


Fig. 2. RT-PCR detection of *WWP1* gene and histological analysis for three representative muscle types. *M. pectoralis superficialis* (PS), *M. anterior latissimus dorsi* (ALD) and heart (H) expressed *WWP1* less in muscular dystrophic chicken, but only dystrophic PS was severely harmed. A) Expression of *WWP1* in PS, ALD and H was analyzed by RT-PCR method. PCR was performed for 35 or 40 cycles. B) The PS, ALD and H of dystrophic (NH-413) and normal (WL-F) chickens were analyzed with HE staining. Vacuoles (arrows) and fatty infiltration (asterisk) are observed in PS of dystrophic chickens. It is also remarkable that, in dystrophic PS, many muscle fibers have many nuclei in cytoplasm and vary widely in size. These pathological features are not observed in ALD and H of dystrophic chicken. Scale bar = 120 μ m.

least six mRNA isoforms synthesized through the alternative splicing, two of which were strongly expressed and commonly observed in various tissues (Flasza et al., 2002). The mRNA doublet bands of chicken *WWP1* by Northern blot analysis might be equivalent to two bands of human tissues, while a single band was observed by RT-PCR analysis in chicken (Fig. 2A), suggesting that the amplified region does not include alternative spliced site. Flasza et al. (2002) also mentioned that the relative ratio of these isoforms from human *WWP1* varied in a tissue-specific manner, but the doublet bands of chicken *WWP1* were expressed almost equally in all tissues examined.

The *WWP1* gene expression in *M. pectoralis superficialis* (PS) of dystrophic chicken was less than that of normal chicken (Fig. 1). The PS of chicken is a fast twitch muscle composed of two types of fast twitch fibers (α W and β W). TFL, BF, TS and PL muscles from wing and leg are mixed muscles co-existing fast twitch (α W and β W) with slow twitch fibers (β R) in a mosaic pattern (Ashmore and Doerr, 1971a), except that the ALD and *M. adductor magnus* are composed of slow tonic fibers (ST) innervated multiply (Ashmore et al., 1978; Kikuchi et al., 1986). In chicken muscular dystrophy, fast twitch fibers are initially and most severely affected, while slow twitch and slow tonic muscles persist relatively harmless throughout the life span (Ashmore and Doerr, 1971b; Barnard et al., 1982). The *WWP1* expression in dystrophic BF, TS and PL showed a similar downward trend as observed in dystrophic PS (Fig. 1). These data indicate that there might not be a causal relationship between the alteration of *WWP1* expression level and the severity of muscular dystrophy, since not only affected muscles but unaffected ones exhibited the same pattern. Moreover, the alteration of *WWP1* expression level was observed in other unaffected tissues, such as B and K, which reinforces our hypothesis that the alteration of *WWP1* expression levels

does not link directly to the dystrophic phenotype (Fig. 1).

To assess the genetic influence of mutant *WWP1* upon chicken muscular dystrophy, we examined *WWP1* gene expression and histological changes in three distinct muscle types, PS as a fast twitch type, ALD as a slow tonic type, and H as a different type of muscle. RT-PCR was applied to this study since ALD was not enough quantity of mRNA for Northern blotting. The *WWP1* mRNA expression was confirmed in all muscles examined (Fig. 2 A).

Figure 2B shows HE stained sections of PS, ALD and H from normal and dystrophic chicken. The dystrophic PS was severely affected, while ALD and heart of dystrophic chicken remained relatively intact (Fig. 2B) as described in a previous study (Kikuchi *et al.*, 1981). The *WWP1* was expressed even in unaffected muscles and the downward alteration of *WWP1* expression was observed commonly in almost all dystrophic muscles examined (Figs. 1, 2). The observation suggests that the alteration of *WWP1* might not be the cause of the pathological change in chicken muscular dystrophy. Hence, the mutation identified previously (Matsumoto *et al.*, 2008) might play a crucial role in leading the onset of chicken muscular dystrophy. The detected mutation lay between WW domains, highly conserved region among tetrapods (Matsumoto *et al.*, 2008), which has been predicted as substrate binding region (Pirozzi *et al.*, 1997; Flasza *et al.*, 2002). This suggests that mutated *WWP1* could not recognize its substrates.

Many HECT-type E3s with WW domains including *WWP1* regulate membrane proteins (Chen and Matesic, 2007). Therefore, aberrant regulation of membrane protein may lead the onset of chicken muscular dystrophy. For example, *WWP1* could bind to β -dystroglycan, which is one of important muscle proteins consisting of membrane (Pirozzi *et al.*, 1997). Abnormal glycosylation of α -dystroglycan in chicken muscular dystrophy has been reported (Saito *et al.*, 2005). Furthermore, the fact that some E3s can recognize sugar chain (Yoshida *et al.*, 2002, 2003; Lederkremer and Gliskman, 2005) leads to the hypothesis that mutated *WWP1* might not be able to recognize the sugar chain of α -dystroglycan to regulate the glycosylated molecules, and that insufficiently glycosylated α -dystroglycan accumulates and causes the disease.

In the present study, we analyzed the mRNA expression of *WWP1* in various skeletal muscles and other tissues of normal and dystrophic chickens. The results suggest that *WWP1* expression level lowered in dystrophic phenotype is not directly related to the cause of disease in chicken muscular dystrophy, whereas mutated *WWP1* does not function normally to cause the onset of chicken muscular dystrophy.

Acknowledgments

This work was supported in part by Grant-in-Aid for

Scientific Research (C), no. 19580338, and the Global COE Program "Global Center for Education and Research in Integrative Membrane Biology" (A-8) from the Ministry of Education, Science, Sports and Research on Nervous and Mental Disorders (16B-2, 19A-7) from the Japanese Ministry of Health, Labor and Welfare.

References

- Ashmore CR and Doerr L. Comparative aspects of muscle fiber types in different species. *Experimental Neurology*, 31: 408-418. 1971a.
- Ashmore CR and Doerr L. Postnatal development of fiber types in normal and dystrophic skeletal muscle of the chick. *Experimental Neurology*, 30: 431-446. 1971b.
- Ashmore CR, Kikuchi T and Doerr L. Some observations on the innervation patterns of different fiber types of chick muscle. *Experimental Neurology*, 58: 272-284. 1978.
- Augustine GJ. How does calcium trigger neurotransmitter release? *Current Opinion in Neurobiology*, 11: 320-326. 2001.
- Barnard EA, Lyles JM, and Pizzey JA. Fibre types in chicken skeletal muscles and their changes in muscular dystrophy. *The Journal of Physiology*, 331: 333-354. 1982.
- Chen C and Matesic LE. The Nedd4-like family of E3 ubiquitin ligases and cancer. *Cancer Metastasis Reviews*, 3-4: 587-604. 2007.
- Dallas CJ, Marc NW, Mohamed O, Jochen GH, Melvin JG and Laurie HG. Regulation of Adult Bone Mass by the Zinc Finger Adapter Protein Schnurri-3. *Science*, 312: 1223-1227. 2006.
- Flasza M, Gorman P, Roylance R, Canfield AE and Baron M. Alternative Splicing Determines the Domain Structure of *WWP1*, a Nedd4 Family Protein. *Biochemical and Biophysical Research Communications*, 290: 431-437. 2002.
- Huang K, Johnson KD, Petcherski AG, Vandergon T, Mosser EA, Copeland NG, Jenkins NA, Kimble J and Bresnick EH. A HECT domain ubiquitin ligase closely related to the mammalian protein *WWP1* is essential for *Caenorhabditis elegans* embryogenesis. *Gene*, 252: 137-145. 2000.
- Jackson PK, Eldridge AG, Freed E, Furstenthal L, Hsu JY, Kaiser BK and Reimann JDR. The lore of the RINGS: substrate recognition and catalysis by ubiquitin ligases. *Trends in Cell Biology*, 10: 429-439. 2000.
- Kikuchi T, Ishiura S, Nonaka I and Ebashi S. Genetic heterozygous carriers in hereditary muscular dystrophy of chickens. *Tohoku Journal of Agriculture Research*, 32: 14-26. 1981.
- Kikuchi T, Akiba T and Ashmore CR. Conversion of muscle fiber types in regenerating chicken muscles following cross-reinnervation. *Acta Neuropathologica*, 71: 197-206. 1986.
- Kikuchi T, Moriya H, Matuzani T, Katoh M and Takeda S. The development of laboratory animal science for the study of human muscular and nervous diseases in Japan. *Congenital Anomalies*, 27: 447-462. 1987.
- Komuro A, Imamura T, Saitoh M, Yoshida Y, Yamori T, Miyazono K and Miyazawa K. Negative regulation of transforming growth factor-beta (TGF-beta) signaling by WW domain-containing protein 1 (WWP1). *Oncogene*, 23: 6914-6923. 2004.
- Kondo K, Kikuchi T and Mizutani M. Breeding of the chicken as an animal model for muscular dystrophy. In: *Muscular Dystrophy* (Ebashi S ed.), pp. 19-24. Tokyo University

- Press. Tokyo. 1982.
- Lederkremer GZ and Glickman MH. A window of opportunity: timing protein degradation by trimming of sugars and ubiquitins. *Trends in Biochemical Sciences*, 30: 297–303. 2005.
- Lisi MT and Cohn RD. Congenital muscular dystrophies: new aspects of an expanding group of disorders. *Biochimica et Biophysica Acta*, 1772: 159–172. 2007.
- Liu YC. Ubiquitin ligases and the immune response. *Annual Review of Immunology*, 22: 81–127. 2004.
- Matsumoto H, Maruse H, Yoshizawa K, Sasazaki S, Fujiwara A, Kikuchi T, Ichihara N, Mukai F and Mannen H. Pinpointing the candidate region for muscular dystrophy in chickens with an abnormal muscle gene. *Animal Science Journal*, 78: 476–483. 2007.
- Matsumoto H, Maruse H, Inaba Y, Yoshizawa K, Sasazaki S, Fujiwara A, Nishibori M, Nakamura A, Takeda S, Ichihara N, Kikuchi T, Mukai F and Mannen H. The ubiquitin ligase gene (WWPI) is responsible for the chicken muscular dystrophy. *FEBS Letters*, 582: 2212–2218. 2008.
- Mosser EA, Kasanov JD, Forsberg EC, Kay BK, Ney PA and Bresnick EH. Physical and functional interactions between the transactivation domain of the hematopoietic transcription factor NF-E2 and WW domains. *Biochemistry*, 37: 13686–13695. 1998.
- Partridge T. Animal models of muscular dystrophy: what can they teach us? *Neuropathology and Applied Neurobiology*, 17: 353–363. 1991.
- Pirozzi G, McConnell SJ, Uveges AJ, Carter JM, Sparks AB, Kayi BK and Fowlkes DM. Identification of Novel Human WW Domain-containing Proteins by Cloning of Ligand Targets. *The Journal of Biological Chemistry*, 272: 14611–14616. 1997.
- Plant PJ, Lafont F, Lecat S, Verkade P, Simons K and Rotin D. Apical membrane targeting of Nedd4 is mediated by an association of its C2 domain with annexin XIIIB. *The Journal of Cell Biology*, 149: 1473–1484. 2000.
- Plant PJ, Yeger H, Staub O, Howard P and Rotin D. The C2 domain of the ubiquitin protein ligase Nedd4 mediates Ca²⁺-dependent plasma membrane localization. *The Journal of Biological Chemistry*, 272: 32329–32336. 1997.
- Saito F, Blank M, Schroder J, Manya H, Shimizu T, Campbell KP, Endo T, Mizutani M, Kroger S and Matsumura K. Aberrant glycosylation of a-dystroglycan causes defective binding of laminin in the muscle of chicken muscular dystrophy. *FEBS Letters*, 579: 2359–2363. 2005.
- Scheffner M and Staub O. HECT E3s and human disease. *BMC Biochemistry*, 8 Suppl 1: S6. 2007.
- Semple CA, RIKEN GER Group and GSL Members. The comparative proteomics of ubiquitination in mouse. *Genome Research*, 13: 1389–1394. 2003.
- Smythe GM and Rando TA. Altered caveolin-3 expression disrupts PI (3) kinase signaling leading to death of cultured muscle cells. *Experimental cell research*, 312: 2816–2825. 2006.
- Sudol M, Chen HI, Bougeret C, Einbond A and Bork P. Characterization of a novel protein-binding module: the WW domain. *FEBS Letters*, 369: 67–71. 1985.
- von Poser C, Zhang JZ, Mineo C, Ding W, Ying Y, Sudhof TC and Anderson RG. Synaptotagmin regulation of coated pit assembly. *The Journal of Biological Chemistry*, 275: 30916–30924. 2000.
- Wilson BW, Randall WR, Patterson GT and Entrikin RK. Major physiologic and histochemical characteristics of inherited dystrophy of the chicken. *Annals of the New York Academy of Sciences*, 317: 224–246. 1979.
- Yoshida Y, Chiba T, Tokunaga F, Kawasaki H, Iwai K, Suzuki T, Ito Y, Matsuoka K, Yoshida M, Tanaka K and Tai T. E3 ubiquitin ligase that recognizes sugar chains. *Nature*, 418: 438–442. 2002.
- Yoshida Y, Tokunaga F, Chiba T, Iwai K, Tanaka K and Tai T. Fbs2 is a new member of the E3 ubiquitin ligase family that recognizes sugar chains. *The Journal of Biological Chemistry*, 278: 43877–43884. 2003.

ABSTRACT: Duchenne muscular dystrophy (DMD) is a devastating muscle disorder that is characterized by progressive muscle necrosis, fibrosis, and fatty infiltration. To examine the temporospatial pathological changes, a noninvasive evaluation method such as magnetic resonance imaging (MRI) is needed. The aim of this study was to precisely assess muscle necrosis and inflammation based on a sequence of T2-weighted imaging (T2WI), gadolinium-enhanced imaging, and selective fat suppression, chemical shift selective T2-weighted imaging (CHESS-T2WI), on a 3.0-Tesla MRI unit in 3-month-old and 7-year-old dogs with canine X-linked muscular dystrophy (CXMD_J), a suitable animal model for DMD. The results show that CHESS-T2WI was more sensitive and useful from the early to late stages of CXMD_J than T2WI or contrast enhancement imaging in the evaluation of muscle necrosis, because these latter sequences can be influenced by fatty infiltration or interstitial connective tissues.

Muscle Nerve 40: 815–826, 2009

EVALUATION OF DYSTROPHIC DOG PATHOLOGY BY FAT-SUPPRESSED T2-WEIGHTED IMAGING

MASANORI KOBAYASHI, DVM,^{1,2} AKINORI NAKAMURA, MD, PhD,¹
DAISUKE HASEGAWA, DVM, PhD,² MICHIO FUJITA, DVM, PhD,²
HIROMITSU ORIMA, DVM, PhD,² and SHIN'ICHI TAKEDA, MD, PhD¹

¹ Department of Molecular Therapy, National Institute of Neuroscience, NCNP, 4-1-1 Ogawa-higashi, Kodaira, Tokyo 187-8502, Japan

² Department of Veterinary Radiology, Nippon Veterinary and Life Science University, Tokyo, Japan

Accepted 23 March 2009

Duchenne muscular dystrophy (DMD) is a severe X-linked muscle disease characterized by progressive skeletal muscle atrophy and weakness.¹ DMD is caused by mutations in the *dystrophin* gene, which encodes the cytoskeletal protein dystrophin.² A loss of dystrophin accompanied by a deficiency of dystrophin-glycoprotein complex (DGC) from the sarcolemma leads to progressive degeneration of striated muscle.^{3,4} In dystrophic skeletal muscles, muscle fiber necrosis with inflammation is followed by muscle regeneration, but the muscle is

finally replaced by fibrous or fatty tissue.^{5,6} For this devastating disorder, various therapeutic approaches, such as gene therapy, stem cell-based cell therapy, or pharmaceutical agents have been proposed and explored using various DMD animal models.

The X-linked muscular dystrophy (*mdx*) mouse and Golden Retriever muscular dystrophy (GRMD) dog are the most commonly used DMD animal models.^{7,8} *mdx* mice show extensive necrosis followed by regeneration, but their phenotypes are milder than those of DMD due to the absence of apparent fibrosis and fatty infiltration.^{7,9,10} The phenotypes of striated muscle in the GRMD dog are clinically and pathologically more similar to that of DMD^{8,11,12} but it is very difficult to maintain this animal model due to the severe phenotype. We have therefore established a Beagle-based colony of canine X-linked muscular dystrophy in Japan (CXMD_J).¹³ We have found that the clinical and pathological findings in CXMD_J are similar to but milder than those in GRMD.^{14,15}

A method of noninvasive temporospatial assessment is required to investigate muscle involvement and, especially, to evaluate therapeutic

Abbreviations: ANOVA, analysis of variance; CE, contrast enhancement ratio; CHESS, chemical shift selective; CT, computed tomography; CXMD_J, canine X-linked muscular dystrophy in Japan; DGC, dystrophin-glycoprotein complex; DMD, Duchenne muscular dystrophy; EDL, extensor digitorum longus; FDS, flexor digitorum superficialis; FITC, fluorescein isothiocyanate; GC, gastrocnemius; Gd-DTPA, gadolinium diethylenetriamine pentaacetic acid; GMRD, Golden Retriever muscular dystrophy; MRI, magnetic resonance imaging; PCr, phosphocreatine; Pi, inorganic phosphate; ROI, region of interest; SNR, signal-to-noise ratio; STIR, short-tau inversion recovery; SI, signal intensity; TC, tibialis cranialis
Key words: chemical shift selective fat-suppressed T2-weighted imaging; Duchenne muscular dystrophy; dystrophic dog; magnetic resonance imaging; myopathy

Correspondence to: S. Takeda; e-mail: takeda@ncnp.go.jp

© 2009 Wiley Periodicals, Inc.
Published online 7 August 2009 in Wiley InterScience (www.interscience.wiley.com). DOI 10.1002/mus.21384